

5 Transformatele lui Joseph Fourier



5.2 Proprietăți ale Transformărilor Fourier

Cum adică? Operația de convoluție liniară nu este bună peste tot?



Exemplu

Pentru SFD



Trebuie să ne asigurăm că operația este bine definită.

Operația **nu este bine definită** în spațiul semnalelor periodice.

\tilde{s}_{dN}



Trebuie definită o nouă operație de convoluție între **semnale periodice**.

Care ar fi proprietățile care să conducă la buna definire a operației?



convoluția periodică



① Trebuie exploatată **informația neredundantă** a semnalelor.



② Ar trebui **verificată** Teorema directă de convoluție, ca în cazul **TCFD**.

(pentru semnale cu perioade diferite, se va considera **perioada comună minimă**)

②

$$\text{SFD}_N(\tilde{x} * \tilde{y}) \equiv \text{SFD}_N(\tilde{x}) \cdot \text{SFD}_N(\tilde{y})$$

Exerciții

- Plecînd de la **Teorema directă de convoluție**, arătați cum se poate redefini convoluția în cazul **SFD**.
- Folosind rezultatul obținut în exercițiul precedent, demonstrați și **Teorema inversă de convoluție** de mai jos.

$$\text{SFD}_N(\tilde{x} \cdot \tilde{y}) \equiv \frac{1}{N} \text{SFD}_N(\tilde{x}) * \text{SFD}_N(\tilde{y})$$



Operația de convoluție periodică este implicată în **aplicații cu semnale/sisteme aflate la limita de stabilitate** (oscilante).

5 Transformatele lui Joseph Fourier



5.2 Proprietăți ale Transformatelor Fourier

Dar în cazul TFD?... De ce nu se poate lucra cu operația de convoluție liniară (bine definită pentru semnale de durată finită)?



Se poate lucra cu această operație, dar nu poate fi rezolvată problema convoluției.

Exercițiu

$$x \in \mathcal{S}_{dN}$$

$$y \in \mathcal{S}_{dM}$$

$$x * y \in \mathcal{S}_{d(M+N-1)}$$



Așadar

$$x \in \mathcal{S}_{dN}$$

$$\text{TFD}_N(x)$$

$$y \in \mathcal{S}_{dM}$$

$$\text{TFD}_M(y)$$

$$x * y \in \mathcal{S}_{d(M+N-1)}$$

$$\text{TFD}_{M+N-1}(x * y)$$

$$\text{TFD}_{M+N-1}(x * y) \neq \text{TFD}_N(x) \cdot \text{TFD}_M(y)$$

⚡ Din cauza dimensiunilor diferite ale TF.



Ce se poate face?



Ar trebui definită o **nouă operație de convoluție**, astfel încât să fie **verificată** Teorema directă de convoluție ca în cazul **TCFD** sau **SFD**.

$$\otimes_N$$

$$\mathcal{S}_{dN}$$

convoluția circulară

Apoi, noua operație de convoluție, ar trebui exprimată cu ajutorul celei liniare, dacă este posibil.

$$\text{TFD}_N \left(x \otimes_N y \right) \equiv \text{TFD}_N(x) \cdot \text{TFD}_N(y)$$



Exerciții

- Arătați cum se poate defini convoluția circulară în cazul **TFD**.

- Folosind noua definiție, demonstrați **Teoremele de convoluție** pentru **TFD**.

$$x \otimes_N y \stackrel{\text{def}}{=} \text{ITFD}_N \left(\text{TFD}_N(x) \cdot \text{TFD}_N(y) \right)$$

5 Transformatele lui Joseph Fourier



5.2 Proprietăți ale Transformatelor Fourier

TFD și convoluția liniară (cazul general)

Teorema directă de convoluție liniară

$$\left. \begin{array}{l} x \in \mathcal{S}_{dN} \\ y \in \mathcal{S}_{dM} \end{array} \right\} \Rightarrow \text{TFD}_{M+N-1}(x * y) \equiv \text{TFD}_{M+N-1}(x) \cdot \text{TFD}_{M+N-1}(y) \equiv \text{TFD}_{M+N-1}\left(x \underset{M+N-1}{\otimes} y\right)$$

Demonstrație

Exercițiu



Întii, căutați relația dintre convoluția circulară și cea liniară.

Teorema inversă de convoluție liniară

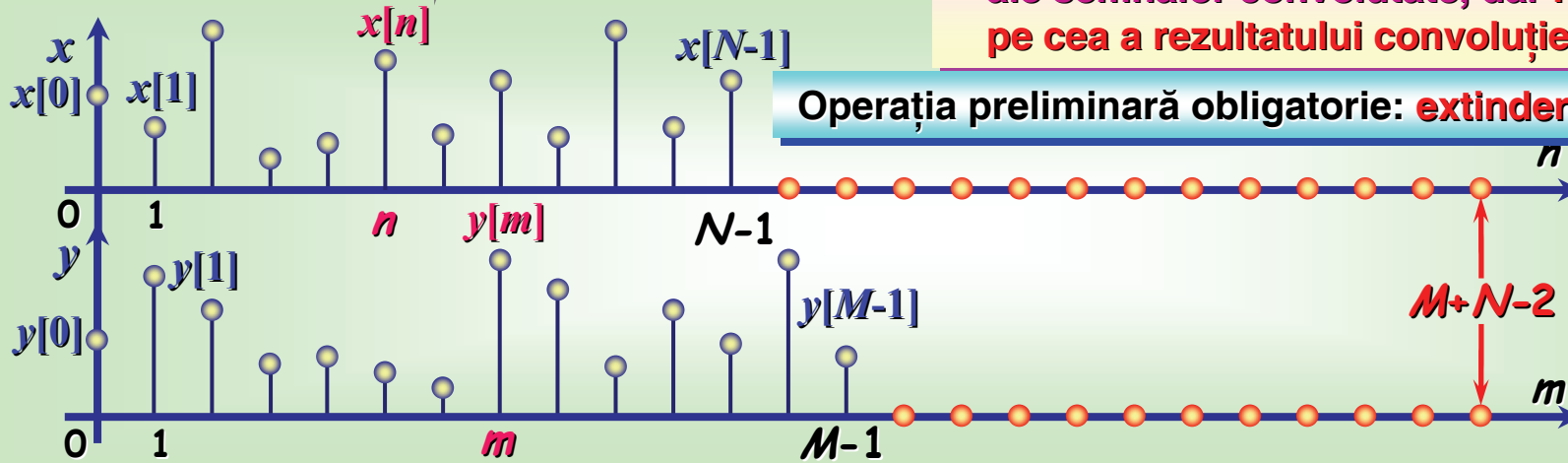
$$\left. \begin{array}{l} x \in \mathcal{S}_{dN} \\ y \in \mathcal{S}_{dM} \end{array} \right\} \Rightarrow \begin{aligned} \text{TFD}_{M+N-1}(x \cdot y) &\equiv \frac{1}{N} \text{TFD}_{M+N-1}(x) * \text{TFD}_{M+N-1}(y) \equiv \\ &\equiv \frac{1}{N} \text{TFD}_{M+N-1}(x) \underset{M+N-1}{\otimes} \text{TFD}_{M+N-1}(y) \end{aligned}$$

Demonstrație

Exercițiu

Extinderea cu zerouri afectează TF ale semnalelor convolute, dar nu și pe cea a rezultatului convoluției.

Operația preliminară obligatorie: **extinderea cu zerouri**.



5 Transformatele lui Joseph Fourier



5.2 Proprietăți ale Transformatelor Fourier



Teorema directă de convoluție liniară (TFD)

$$\left. \begin{array}{l} x \in \mathcal{S}_{dN} \\ y \in \mathcal{S}_{dM} \end{array} \right\} \Rightarrow \text{TFD}_{M+N-1}(x * y) \equiv \text{TFD}_{M+N-1}(x) \cdot \text{TFD}_{M+N-1}(y) \equiv \text{TFD}_{M+N-1}\left(x \underset{M+N-1}{\otimes} y\right)$$

Este aceasta mai eficientă decât metoda directă de calcul?

$$x * y \equiv \text{ITFD}_{M+N-1}\left(\text{TFD}_{M+N-1}(x) \cdot \text{TFD}_{M+N-1}(y)\right)$$

O altă metodă de calcul al rezultatului unei operații de convoluție.



$$(x * y)[n] = \sum_{k=0}^{N-1} x[k]y[n-k]$$

$$\forall n \in 0, M+N-1$$

Numărul de operații al definiției.

$$\mathcal{O}_*[M, N] = [4N(M+N-1)]_{\bullet} + [(3N-1)(M+N-1)]_{+}$$

numărul de înmulțiri reale

numărul de adunări reale

Numărul de operații al relației cu TFD.

$$\mathcal{O}_{\otimes}[M, N] = ([6(M+N-1)]_{\bullet} + [2(M+N-1)]_{+}) \mathcal{O}_{TFD}[M, N]$$

Efortul de calcul implicat de algoritmi care implementează TFD este superior lui $(M+N-1)$.

Cipuri DSP,
Procesoare de semnal

Texas Instruments, Intel, Motorola

Definiția convoluției liniare nu este implementată hardware, dar evaluarea TFD – DA.



Atunci, care este utilitatea convoluției circulare?





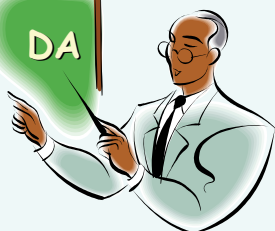
Are convoluția inversă
utilitate practică?

- În pofida aparențelor,

DA

Alt exemplu

Codarea imaginilor



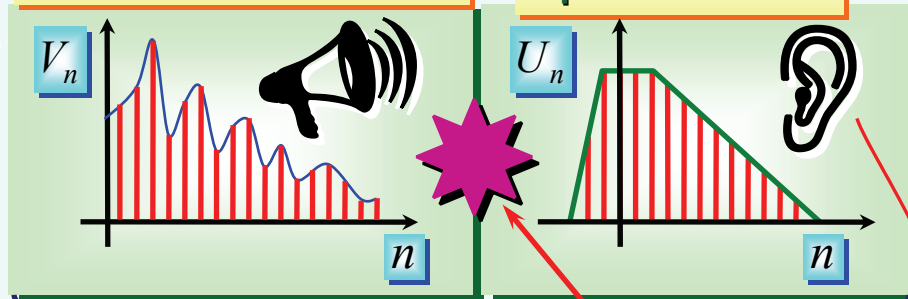
Un exemplu

Codarea semnalului vocal

- În tele-comunicațiile moderne, bazate pe limbajul natural ("tele-comunicațiile vorbite"), este integrat un model al sistemului psiho-acustic uman.

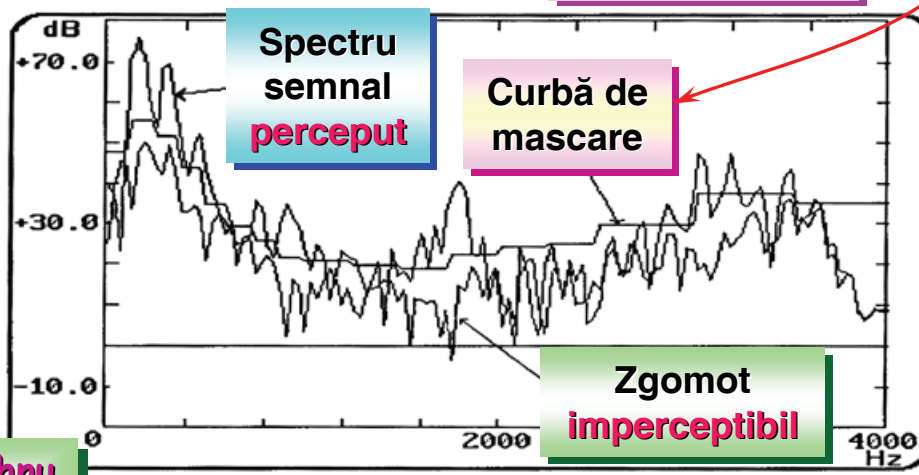
Spectru semnal vocal

Spectru sistem
psiho-acustic



Convoluție.

Filtrul psiho-vizual acordat pentru
atenuarea zgomotului imaginii.



Bishnu
ATAL

"Speech coding is what you do not hear."

⑤ Transformatele lui Joseph Fourier



⑤.② Proprietăți ale Transformatelor Fourier

Proprietăți de redundanță

Proprietatea alierii în timp (SFD-TFD)

Propoziția 2 (relația de aliere în timp)

Fie $x \in \ell^1(\mathcal{T})$ un semnal discret stabil (nu neapărat de durată finită) și $N \in \mathbb{N}^*$ un număr natural nenul arbitrar fixat. Transformata Z a semnalului se poate evalua în cele N puncte echidistante ale cercului unitar. Se notează prin \tilde{X} semnalul astfel obținut. Atunci \tilde{X} este periodic și de perioadă egală cu N . Mai mult, semnalul periodic a cărui SFD este egală cu \tilde{X} are următoarea exprimare, numită **relație de aliere în timp**:

$$\tilde{x}[n] = \sum_{p \in \mathbb{Z}} x[n + pN] \quad , \quad \forall n \in \mathbb{Z}.$$

Demonstrație

Faptul că valorile Transformatei Z se constituie într-un semnal periodic este demonstrat de următoarele egalități:

$$\tilde{X}[k] \stackrel{\text{def}}{=} \mathcal{Z}(x)(w_N^{-k}) \stackrel{\text{def}}{=} \sum_{n \in \mathbb{Z}} x[n] z^{-n} \Big|_{z=w_N^{-k}} = \sum_{n \in \mathbb{Z}} x[n] w_N^{nk} = \sum_{n \in \mathbb{Z}} x[n] w_N^{n(k+pN)} \quad , \quad \forall k, p \in \mathbb{Z}.$$

Pentru a evalua semnalul periodic corespunzător transformatei \tilde{X} , trebuie aplicat operatorul **ISFD**:

$$\tilde{x}[n] \stackrel{\text{def}}{=} \frac{1}{N} \sum_{k=0}^{N-1} \tilde{X}[k] \bar{w}_N^{kn} = \frac{1}{N} \sum_{k=0}^{N-1} \left(\sum_{p \in \mathbb{Z}} x[p] w_N^{pk} \right) \bar{w}_N^{kn} = \frac{1}{N} \sum_{k=0}^{N-1} \sum_{p \in \mathbb{Z}} x[p] w_N^{k(p-n)} \quad , \quad \forall n \in \mathbb{Z}.$$

5 Transformatele lui Joseph Fourier



Proprietăți de
redundanță
(continuare)

5.2 Proprietăți ale Transformatelor Fourier

Proprietatea alierii în timp (SFD-TFD)

Propoziția 2 (relația de aliere în timp)

Demonstrație (continuare)

Cercul unitar fiind inclus în zona de convergență a semnalului original, suma infinită este absolut convergentă și comută cu suma finită:

$$\tilde{x}[n] = \frac{1}{N} \sum_{p \in \mathbb{Z}} x[p] \sum_{k=0}^{N-1} w_N^{k(p-n)}, \quad \forall n \in \mathbb{Z}.$$

Acum, intră în scenă **relația lui Poisson**, cu ajutorul căreia se poate evalua suma finită:

$$\tilde{x}[n] = \frac{1}{N} \sum_{p \in \mathbb{Z}} x[p] \delta_{N\mathbb{Z}}[p-n] = \sum_{p \in \mathbb{Z}} x[n + pN], \quad \forall n \in \mathbb{Z}.$$



$$\sum_{n=0}^{N-1} w_N^{kn} = \sum_{n=0}^{N-1} \bar{w}_N^{kn} = N \delta_{N\mathbb{Z}}[k]$$

$\forall k \in \mathbb{Z}$

Relație de aliere în timp

$$\tilde{x}[n] = \sum_{p \in \mathbb{Z}} x[n + pN] \quad \forall n \in \mathbb{Z}$$

Asemănătoare relației
de aliere în frecvență.

vezi secțiunea 11

$$x \in \mathcal{S}_{dM} \Rightarrow \tilde{x} \equiv \sum_{p \in \mathbb{Z}} q^{+pN} x$$

Suma de aliere conține un singur termen nenul pentru fiecare moment de timp, dacă și numai dacă $M \leq N$.

Exercițiu

- Pentru a sesiza utilitatea practică a relației de aliere în timp, analizați maniera în care o serie de M date poate fi transmisă prin intermediul unei serii de N date, cu $N \leq M$. Cât de mic poate fi N ?

5 Transformatele lui Joseph Fourier



Proprietăți de redundanță (continuare)

5.2 Proprietăți ale Transformatelor Fourier

Redundanța Transformatei Z

- În general, fiecare valoare a **Transformatei Z** codifică o informație unică referitoare la un anumit semnal sau sistem.
- În cazul particular al semnalelor discrete **de durată finită**, întreaga informație este codificată pe **cercul unitar**.

Transformata Z este **redundantă** și poate fi reconstruită folosind **numai valori ale sale de pe cercul unitar**.

Pentru semnalele practice.

Propoziția 3 (interpolarea Transformatei Z)

Fie $x \in \mathcal{S}_{dN}$ un semnal discret de durată finită și $\mathcal{W}_N \stackrel{\text{def}}{=} \{\bar{w}_N^n\}_{n \in \overline{0, N-1}}$ mulțimea rădăcinilor de ordin N ale unității. Atunci Transformata Z a semnalului se poate evalua în orice punct din planul complex (mai puțin originea), folosind numai valorile sale în punctele mulțimii \mathcal{W}_N (adică valorile **TFD** ale semnalului):

$$\mathcal{Z}(x)(z) = \frac{z^N - 1}{Nz^{N-1}} \sum_{k=0}^{N-1} \frac{\text{TFD}_N(x)[k]}{z - \bar{w}_N^k}, \quad \forall z \in \mathbb{C}^*.$$

Relație de interpolare a Transformatei Z

5 Transformatele lui Joseph Fourier



Proprietăți de
redundanță
(continuare)

5.2 Proprietăți ale Transformatelor Fourier

Redundanța Transformatei Z

Propoziția 3 (interpolarea Transformatei Z)

Demonstrație

Se pleacă de la definiția Transformatei Z a semnalului de durată finită și se folosește faptul că semnalul poate fi recuperat cu ajutorul operatorului **ITFD**:

$$\mathcal{L}(x)(z) \stackrel{\text{def}}{=} \sum_{n=0}^{N-1} x[n]z^{-n} = \sum_{n=0}^{N-1} \text{ITFD}_N(X)[n]z^{-n} = \frac{1}{N} \sum_{n=0}^{N-1} \left(\sum_{k=0}^{N-1} X[k] \bar{w}_N^{kn} \right) z^{-n}, \quad \forall z \in \mathbb{C}^*.$$

Cele două sume finite comută, astfel că:

$$\mathcal{L}(x)(z) = \frac{1}{N} \sum_{k=0}^{N-1} X[k] \sum_{n=0}^{N-1} \bar{w}_N^{kn} z^{-n} = \frac{1}{N} \sum_{k=0}^{N-1} X[k] \underbrace{\sum_{n=0}^{N-1} \left(\bar{w}_N^k z^{-1} \right)^n}_{\text{suma unei serii geometrice}} = \frac{1}{N} \sum_{k=0}^{N-1} X[k] \frac{1 - \bar{w}_N^{kN} z^{-N}}{1 - \bar{w}_N^k z^{-1}}, \quad \forall z \in \mathbb{C}^*.$$

rația

În consecință:

$$\mathcal{L}(x)(z) = \frac{z^N - 1}{Nz^{N-1}} \sum_{k=0}^{N-1} \frac{X[k]}{z - \bar{w}_N^k} = \frac{z^N - 1}{Nz^{N-1}} \sum_{k=0}^{N-1} \frac{\text{TFD}_N(x)[k]}{z - \bar{w}_N^k}, \quad \forall z \in \mathbb{C}^*.$$

👉 Pentru evaluarea Transformatei Z a unui semnal de durată finită se poate utiliza un **algoritm de calcul al TFD**.

5 Transformatele lui Joseph Fourier



Proprietăți de
redundanță
(final)

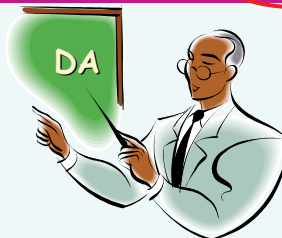
5.2 Proprietăți ale Transformărilor Fourier

Redundanța Transformatei Z

Formula de
interpolare a
Transformatei Z

$$\mathcal{L}(x)(z) = \frac{z^N - 1}{Nz^{N-1}} \sum_{k=0}^{N-1} \frac{\text{TFD}_N(x)[k]}{z - \bar{w}_N^k} \quad \forall z \in \mathbb{C}^*$$

Este corect definită în punctele
cercului unitar?



• Datorită proprietății:

$$z^N - 1 = (z - 1)(z - \bar{w}_N^1) \cdots (z - \bar{w}_N^{N-1})$$

se simplifică

Interpolatorul este exact
și pe cercul unitar.

$$z = e^{j\omega}, \quad \omega \in \mathbb{R}$$

$$\mathcal{L}(x)(z)|_{z=e^{j\omega}} = X(e^{j\omega})$$

$$\frac{z^N - 1}{z - \bar{w}_N^k} = (z - 1)(z - \bar{w}_N^1) \cdots (z - \bar{w}_N^{k-1})(z - \bar{w}_N^{k+1}) \cdots (z - \bar{w}_N^{N-1})$$

TCFD factor forțat

$$e^{j\frac{\omega N}{2}} \left(e^{j\frac{\omega N}{2}} - e^{-j\frac{\omega N}{2}} \right) \quad \text{aproape sinus}$$

$$X(e^{j\omega}) = \frac{e^{j\omega N} - 1}{N e^{j\omega(N-1)}} \sum_{k=0}^{N-1} \frac{\text{TFD}_N(x)[k]}{e^{j\omega} - \bar{w}_N^k}$$

$$X(e^{j\omega_k}) = \text{TFD}_N(x)[k] \quad \forall k \in \overline{0, N-1}$$

$$= \frac{1}{N} \sum_{k=0}^{N-1} \text{TFD}_N(x)[k] e^{j\frac{\omega N(1-N)-2k\pi}{2N}} \frac{\sin \frac{\omega N}{2}}{\sin \frac{\omega N - 2k\pi}{2N}} = \frac{1}{N} \sum_{k=0}^{N-1} \text{TFD}_N(x)[k] \phi_k(\omega), \quad \omega \in \mathbb{R}.$$

nucleu de interpolare

aproape sinus

Exercițiu

6 Reprezentări de semnale prin ecuații cu diferențe



Ecuatie cu diferențe

$$\sum_{p=0}^{na} a_p y[n-p] = \sum_{m=0}^{nb} b_m x[n-m] \quad \forall n \in \mathbb{Z}$$

indicii structurali ai ecuației

semnal de ieșire, necunoscut

coeficienții ecuației

- Cunoscuți în PS.
- Necunoscuți în IS.

semnal de intrare, cunoscut

Modele de identificare din clasa ARMAX.

- Similară ecuației diferențiale din contextul semnalelor continue:

$$\sum_{p=0}^{na} a_p \frac{d^p}{dt^p} y(t) = \sum_{m=0}^{nb} b_m \frac{d^m}{dt^m} x(t) \quad \forall t \in \mathbb{R}$$

Exprimare echivalentă

$$A(q^{-1})y[n] = B(q^{-1})x[n] \quad \forall n \in \mathbb{Z}$$

$$A(q^{-1}) = a_0 + a_1 q^{-1} + \dots + a_{na} q^{-na}$$

$$B(q^{-1}) = b_0 + b_1 q^{-1} + \dots + b_{nb} q^{-nb}$$

Polinoame Laurent

$$q^{-1} \leftrightarrow z^{-1}$$

Teorema întârzierii

$$Y(z) = \frac{B(z)}{A(z)} X(z) = H(z) X(z)$$

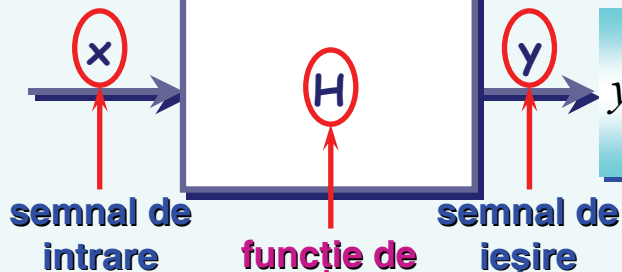
funcție de transfer

Polinoame în z^{-1} , dar nu în z .

Tot rațională.

Interpretare sistemică

$$y[n] = \frac{B(q^{-1})}{A(q^{-1})} x[n] = H(q^{-1}) x[n]$$



↓ Rațională.

← secvență pondere

← obținută prin împărțirea infinită a polinoamelor Laurent



SLID

$$\delta_0$$

$*h$

$$h$$



6 Reprezentări de semnale prin ecuații cu diferențe

Polinoame Laurent?



$$X(z) = \underbrace{\sum_{n \geq 0} x[n] z^{-n}}_{X_L(z)} + \underbrace{\sum_{n > 0} x[-n] z^n}_{X_T(z)} \quad \forall z \in \mathcal{A}_c(x)$$

Puteri negative.

componenta Laurent + componenta Taylor

$$|z| \geq \mathcal{R}_0(x)$$

$$|z| \leq \mathcal{R}_\infty(x)$$

Este unică maniera de împărțire infinită?

NU

Există 2 posibilități:

Funcția de sistem

$$\begin{aligned} 1 \rightarrow & \frac{B(q^{-1}) = b_0 + b_1 q^{-1} + \dots + b_{nb} q^{-nb}}{A(q^{-1}) = a_0 + a_1 q^{-1} + \dots + a_{na} q^{-na}} \equiv \sum_{n \geq 0} \alpha_n q^{-n} \\ & \text{cauzală} \end{aligned}$$

$$\begin{aligned} 2 \rightarrow & \frac{B(q^{-1}) = b_0 + b_1 q^{-1} + \dots + b_{nb} q^{-nb}}{A(q^{-1}) = a_{na} q^{-na} + \dots + a_1 q^{-1} + a_0} \equiv q^{na} \sum_{n \geq -nb} \beta_n q^{+n} \\ & \text{ne-cauzală (sau anti-cauzală)} \end{aligned}$$

Atenție la primul termen al numitorului.

Cu toate acestea, soluția unei ecuații cu diferențe este **unic determinată de condițiile inițiale**. → La fel și secvența pondere.

De exemplu

$$y[0] = y_0$$

$$y[\pm 1] = y_{\pm 1}$$

$$y[\pm 2] = y_{\pm 2}$$

⋮ ← na condiții

- Ca și în cazul ecuațiilor diferențiale, soluția unei ecuații cu diferențe se exprimă prin **suma dintre soluția ecuației omogene și o soluție particulară**.
- Rezolvarea unei ecuații cu diferențe se efectuează mai simplu decât în cazul unei ecuații diferențiale.



6 Reprezentări de semnale prin ecuații cu diferențe

Grafuri de semnale



$$\sum_{p=0}^{na} a_p y[n-p] = \sum_{m=0}^{nb} b_m x[n-m]$$

$\forall n \in \mathbb{Z}$

$$y[0] = y_0$$

$$y[\pm 1] = y_{\pm 1}$$

$$y[\pm 2] = y_{\pm 2}$$



← na condiții inițiale

Cum poate fi rezolvată ecuația cu un mijloc automat de calcul?



Valorile ieșirii necunoscute se pot determina recursiv.

$$y[n] = -\frac{1}{a_0} \sum_{p=1}^{na} a_p y[n-p] + \frac{1}{a_0} \sum_{m=0}^{nb} b_m x[n-m]$$

$a_0 \neq 0$

$\forall n \in \mathbb{N}$

Componenta cauzală!

Componenta anti-cauzală

Exercițiu

- Se renotează coeficienții ecuației:

$$a_p \leftarrow \frac{a_p}{a_0}$$

$$b_m \leftarrow \frac{b_m}{a_0}$$

$$\forall p \in \overline{1, na}$$

$$\forall m \in \overline{1, nb}$$

- Ecuația are 2 componente, care pot fi calculate separat, în paralel:

- Operațiile cu semnalele implicate în blocurile de calcul se pot reprezenta cu ajutorul unui **graf orientat**.

$$\sum_{m=0}^{nb} b_m x[n-m]$$

← bloc de intrare

$$-\sum_{p=1}^{na} a_p y[n-p]$$

← bloc de ieșire

→ arce orientate: $x \xrightarrow{\text{transfer}} x$

$x \xrightarrow{\text{multiplicare } a} ax$

$x \xrightarrow{\text{întîrziere } q^{-1}} q^{-1} x$

→ noduri:

x

distribuție

x
 x
 x

x
 y
 \vdots

adunare

$x + y + \dots$

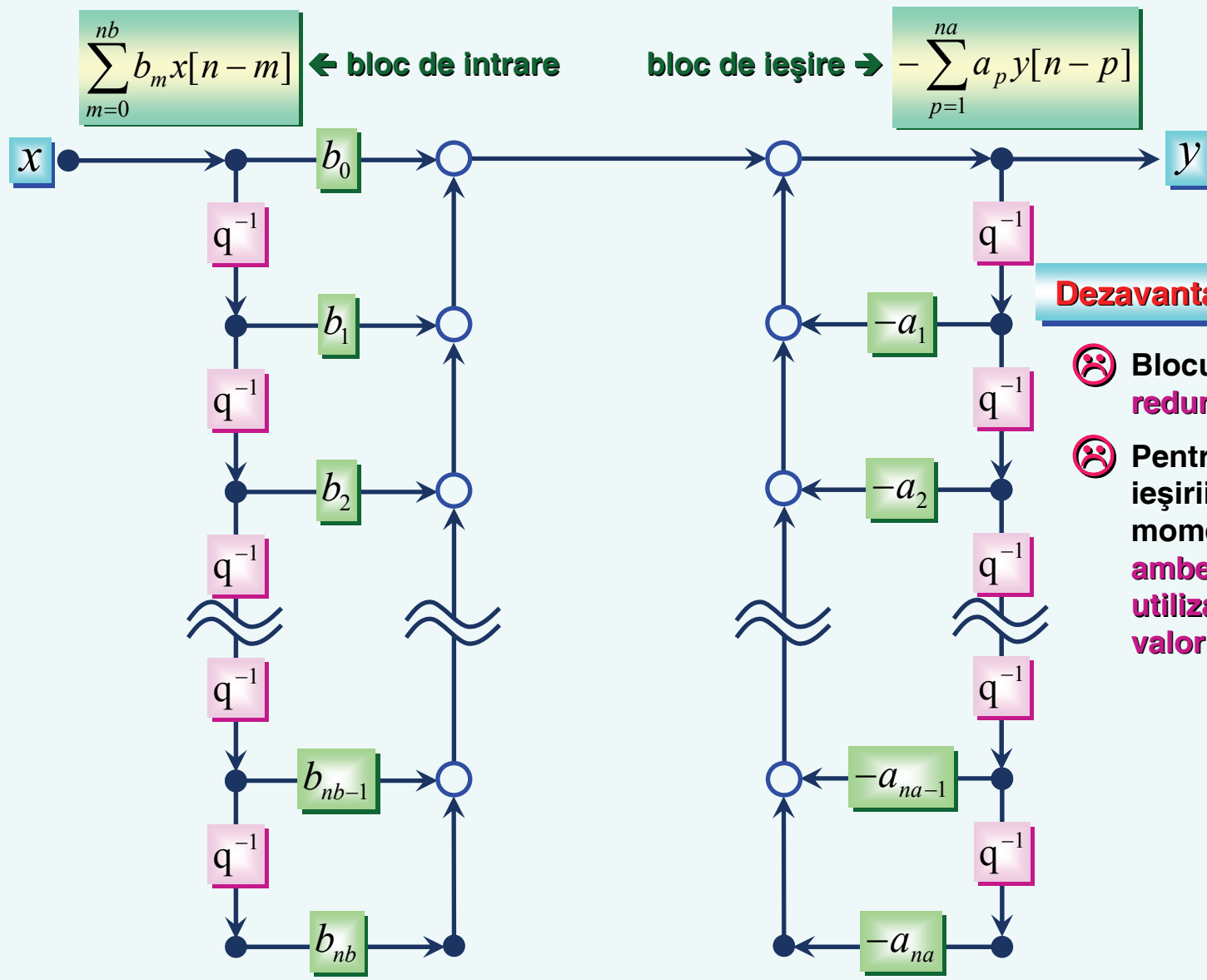


⑥ Reprezentări de semnale prin ecuații cu diferențe



Grafuri de semnale (continuare)

O schemă de calcul recursiv (**forma directă I**)



Dezavantajele implementării

- ⊗ Blocuri de întârziere redundante.
- ⊗ Pentru a calcula valoarea ieșirii la un anumit moment normalizat, ambele blocuri trebuie utilizate în calculul valorilor anterioare.